

Воронов В. П., канд. физ.-мат. наук, проф.,
Семикопенко И. А., канд. техн. наук, доц.,
Вялых С. В., аспирант,
Гордеев С. И., аспирант

Белгородский государственный технологический университет им. В.Г.Шухова

МАТЕМАТИЧЕСКОЕ ОПИСАНИЕ ПЛОСКОГО ДВИЖЕНИЯ ДВУХФАЗНОЙ СРЕДЫ В МЕЛЬНИЦАХ ДЕЗИНТЕГРАТОРНОГО ТИПА

v.s_bogdanov@mail.ru

Используя метод малого параметра, предложено математическое описание поля скоростей частиц материала в мельницах дезинтеграторного типа. В рамках плоской модели получены аналитические выражения, определяющие в зависимости от технологических параметров скорость движения частиц материала в мельницах дезинтеграторного типа.

Ключевые слова: дезинтегратор, скорость, малый параметр, плоская модель.

Решение ряда задач, связанных с определением поля скоростей во вращающемся потоке несущей среды, необходимо для правильного выбора как конструктивных, так и технологических параметров в мельницах дезинтеграторного типа. Кроме того, полученные при этом аналитические выражения, определяющие скорости движения частиц, позволяют определять траектории движения и произвести математическое моделирование плоского движения частиц во вращающейся двухфазной среде в зависимости от технологических параметров.

Для решения поставленной задачи обратимся к плоской детерминированной математической модели движения твердых сферических частиц, характеризующихся диаметром d , плотностью ρ , относительно небольшой скоростью движения \vec{v} (для которой выполняется стоксовский закон сопротивления), во вращающемся с частотой ω_0 потоке воздушной среды, имеющей динамическую вязкость μ_0 . В неподвижной полярной системе координат r, χ данная модель описывается следующей системой уравнений [1]:

$$\frac{dv_r}{dt} = \frac{v_r^2}{r} + \frac{1}{\tau}(u_r - v_r); \quad (1)$$

$$\frac{dv_\chi}{dt} = \frac{v_r v_\chi}{r} + \frac{1}{\tau}(u_\chi - v_\chi); \quad (2)$$

$$v_r = \frac{dr}{dt}; \quad (3)$$

$$v_\chi = r \frac{d\chi}{dt}, \quad (4)$$

где t – время движения частицы; u_r, u_χ, v_r, v_χ – радиальные и окружные скорости движения, соответственно воздушной несущей среды и частицы материала; τ – величина, имеющая размерность времени, которая определяется соотношением:

$$\tau = \frac{\rho d^2}{18\mu_0}. \quad (5)$$

В уравнениях (1)–(4) перейдем к безразмерным переменным согласно следующим соотношениям:

$$u_r = \omega_0 R \tilde{u}_{r1}; \quad (6)$$

$$u_\chi = \omega_0 R \tilde{u}_\chi; \quad (7)$$

$$v_r = \omega_0 R W_{r1}; \quad (8)$$

$$v_\chi = \omega_0 R W_\chi; \quad (9)$$

$$t = \tau \cdot t_1; \quad (10)$$

$$r = R r_1, \quad (11)$$

где R – расстояние от оси вращения ротора до первого внутреннего ряда ударных элементов дезинтегратора.

С учетом соотношений (6)–(11) система уравнений (1)–(4) приводится к следующему виду:

$$\frac{dW_{r1}}{dt_1} = \alpha \frac{W_\chi^2}{r_1} + \tilde{u}_{r1} - W_{r1}; \quad (12)$$

$$\frac{dW_\chi}{dt_1} = -\alpha \frac{W_\chi W_{r1}}{r_1} + \tilde{u}_\chi - W_\chi; \quad (13)$$

$$\frac{dr_1}{dt_1} = -\alpha W_{r1}; \quad (14)$$

$$\alpha W_\chi = r_1 \frac{d\chi}{dt_1}, \quad (15)$$

где безразмерная величина α определяется следующим соотношением:

$$\alpha = \omega_0 \tau = \frac{\omega_0 \rho d^2}{18\mu_0}. \quad (16)$$

Результат почленного деления (13) на W_χ с учетом (14) позволяет привести (13) к следующему виду:

$$\frac{d}{dt_1} [\ln(W_\chi r_1)] = \frac{\tilde{u}_\chi}{W_\chi} - 1. \quad (17)$$

Общее решение дифференциального уравнения (17) имеет следующий вид:

$$W_{\chi} r_1 = const \cdot \exp\left(\int \left(\frac{\tilde{u}_{\chi}}{W_{\chi}} - 1\right) dt_1\right). \quad (18)$$

Постоянную интегрирования, входящую в (18), можно определить из начальных условий:

$$W_{\chi}(r_1 = 1, t_1 = 0) = 1. \quad (19)$$

Из соотношения (18) следует, что если отсутствует окружная скорость воздушной среды $u_{\chi} = 0$, то, согласно (18) находим, что:

$$W_{\chi} = \frac{const \cdot e^{-t_1}}{r_1}. \quad (20)$$

Рассмотрим движение двухфазной среды в пространстве дезинтегратора после схода частицы материала с первого ряда ударных элементов, предположив при этом, что выполняются следующие соотношения:

$$\tilde{u}_{r_1} = 0; \quad \tilde{u}_{\chi} = W_{\chi}. \quad (21)$$

В этом случае на основании (18) с учетом (19) находим, что:

$$\tilde{u}_{\chi} = W_{\chi} = \frac{1}{r_1}. \quad (22)$$

Уравнение (12) с учетом (14) и (22) принимает следующий вид:

$$W_{r_1} \cdot \frac{dW_{r_1}}{dr_1} + \frac{1}{\alpha} W_{r_1} = \frac{1}{r_1^3}. \quad (23)$$

Согласно результату работы [2], движение частиц материала вдоль поверхности плоского ударного элемента происходит со скоростью:

$$V = \omega_0 \rho_0 \frac{\cos \beta_0 - f \sin \beta_0}{2f}, \quad (24)$$

где β_0 – угол, образованный радиусом ρ_0 с направлением расположения плоского ударного элемента в точке соударения с частицей материала. Для рассматриваемого случая:

$$\beta_0 = 0; \quad \rho_0 \approx R. \quad (25)$$

Поэтому на основании (24) и (25) получаем, что в момент схода частицы материала с плоского ударного элемента ($r_1=1$):

$$W_{r_1}^{(0)} = r_1 \frac{\left(\left(\frac{1}{2f} \right) - \sqrt{r_1^2 + \frac{r_1^2}{4f^2} - 1} + \arctg \frac{1}{2f} - \arctg \frac{1}{\sqrt{r_1^2 + \frac{r_1^2}{4f^2} - 1}} \right)}{\sqrt{r_1^2 + \frac{r_1^2}{4f^2} - 1}}. \quad (32)$$

Рассмотрим второй предельный случай, когда $\alpha \ll 1$.

Анализ нелинейного решения задачи Коши для этого случая показывает, что поведение про-

$$v_r \cong \frac{\omega_0 R}{2f}; \quad \text{или } W_{r_1} \cong \frac{1}{2f}. \quad (26)$$

Поэтому задача о нахождении радиальной составляющей скорости частицы материала после схода ее с плоского ударного элемента сводится к решению дифференциального уравнения (23) с начальным условием (26).

В силу нелинейности уравнения (23) данная задача Коши не имеет точного аналитического решения.

Использование ЭВМ позволяет найти приближенное решение численными методами, а также построить приближенное аналитическое решение в двух предельных случаях ($\alpha \gg 1$ и $\alpha \ll 1$).

Рассмотрим случай при $\alpha \gg 1$, который реализуется при относительно больших диаметрах измельчаемых частиц. В данном случае решение уравнения (23) представим в следующем виде:

$$W_{r_1} = W_{r_1}^{(0)} + \frac{1}{\alpha} W_{r_1}^{(1)}, \quad (27)$$

где функция $W_{r_1}^{(0)}$ удовлетворяет уравнению:

$$W_{r_1}^{(0)} \frac{dW_{r_1}^{(0)}}{dr_1} = \frac{1}{r_1^3}. \quad (28)$$

Решение уравнения (28), удовлетворяющее начальному условию (26), задается соотношением:

$$W_{r_1}^{(0)} = \sqrt{1 + \frac{1}{4f^2} - \frac{1}{r_1^2}}. \quad (29)$$

Искомая функция $W_{r_1}^{(1)}$ должна удовлетворять начальному условию:

$$W_{r_1}^{(1)}(r_1 = 1) = 0. \quad (30)$$

и с точностью до величин первого порядка малости относительно $1/\alpha$ удовлетворять следующему дифференциальному уравнению:

$$W_{r_1}^{(0)} \cdot \frac{dW_{r_1}^{(0)}}{dr_1} + \frac{dW_{r_1}^{(0)}}{dr_1} \cdot W_{r_1}^{(1)} + W_{r_1}^{(0)} = 0. \quad (31)$$

Решение уравнения (31) с учетом (29) и (30) имеет вид:

изводной $\frac{dW_{r_1}}{dr_1} \approx \frac{1}{\alpha}$, поэтому в этом случае получаем следующее с точностью до величины первого порядка малости по α уравнение:

$$W_{r_1} \left(\alpha \frac{dW_{r_1}}{dr_1} + 1 \right) = 0. \quad (33)$$

Решение уравнения (33), удовлетворяющее начальному условию (26), имеет вид:

$$W_{r_1} = \begin{cases} \sqrt{\left\{ 1 + \frac{1}{4f^2} - \frac{1}{r_1^2} + \frac{r_1}{\alpha} \cdot \left[\frac{1}{2f} - \sqrt{r_1^2 + \frac{r_1^2}{4f^2}} - 1 + \arctg 2f - \arctg \frac{1}{\sqrt{r_1^2 + \frac{r_1^2}{4f^2}}} \right] \right\}} \cdot \frac{1}{\sqrt{r_1^2 + \frac{r_1^2}{4f^2} - 1}} & \text{при } \alpha \gg 1 \\ \frac{1}{2f} - \frac{1}{\alpha} \cdot (r_1 - 1) & \text{при } \alpha \ll 1. \end{cases}$$

$$W_{r_1} \cong \frac{1}{2f} - \frac{1}{\alpha} (r_1 - 1).$$

Окончательно решение уравнения (23), удовлетворяющее начальному условию (26), представляем в следующем виде:

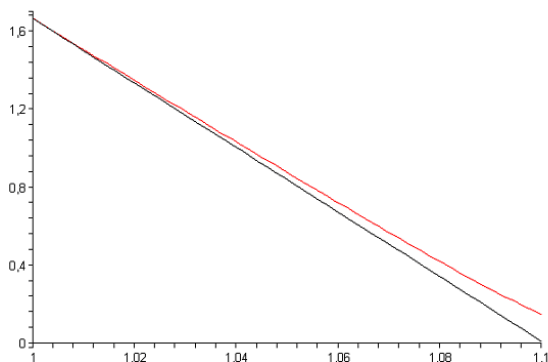


Рис. 1. График зависимости безразмерной радиальной составляющей скорости от безразмерной координаты r_1 : при $\omega = 50, \mu_0 = 1.84 \cdot 10^{-6}, \rho = 1600$ верхняя линия соответствует численному решению, а нижняя линия - приближенному аналитическому решению в виде ряда $\alpha = 0.06$.

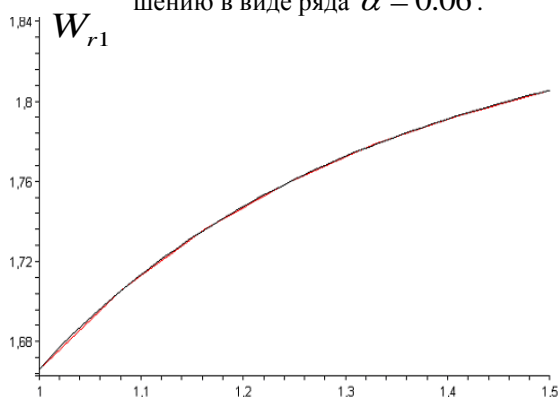


Рис. 2. График зависимости безразмерной радиальной составляющей скорости от безразмерной координаты r_1 : при $\omega = 50, \mu_0 = 1.84 \cdot 10^{-6}, \rho = 1600$ верхняя линия соответствует численному решению, а нижняя линия - приближенному аналитическому решению в виде ряда $\alpha = 24,55$.

На рисунке 1 приведена графическая зависимость величины (35), соответствующая значению $\alpha = 0,06$, а на рисунке 2 приведен график зависимости величины (35) при $\alpha = 24,55$.

Анализ приведенных на рисунках 1 и 2 графических зависимостей позволяет сделать вывод о достаточно высокой степени точности приближенного аналитического решения (35).

БИБЛИОГРАФИЧЕСКИЙ СПИСОК

1. Ушаков С.Г., Инерционная сепарация пыли /С. Г. Ушаков, Н.И Зверев – М. Энергия. 1974г. 168 с.
2. Воронов В.П., Пневмомеханический смесительно-помольный комплекс./ В.П.Воронов, И.А. Семикопенко, П.П. Пензев // Известия вузов. Строительство –2008.— №10.— С. 91-95.